

京都大学大学院 学生員・土屋 兼
京都大学工学部 正員 岩佐 義朗
京都大学工学部 正員 綾 史郎

1.はじめに：浸透層内の密度流現象については、従来より多くの研究が行われているが、本研究は、不圧浸透層における塩水の侵入現象と塩水位の周期変動に伴う塩水側の非定常応答特性について、自由水面の存在と淡塩水の混合を考慮した2次元数値解析モデルにより解析し、これらの特性について考察したものである。

2. 数学モデルと数値解析法：2.1 浸透層を等質、非圧縮性とし、流体は非圧縮性、Boussinesq 近似が成立するものと仮定すると、基礎方程式は次の様に表わせる。

①連続方程式 $\frac{\partial u}{\partial x} + \frac{\partial w}{\partial z} = 0 \quad \dots (1)$

②運動方程式 $0 = -\frac{\partial}{\partial z}\left(\frac{P}{\rho g}\right) - \frac{1}{K_s}u \quad \dots (2) \quad 0 = -\frac{\partial}{\partial x}\left(\frac{P}{\rho g}\right) - \frac{1}{K_s}w \quad \dots (3)$

③移流分散方程式 $\lambda \frac{\partial^2 c}{\partial x^2} + \frac{\partial}{\partial z}(uc) + \frac{\partial}{\partial z}(wc) = \lambda \frac{\partial c}{\partial x} (D_{xx} \frac{\partial c}{\partial x} + D_{zz} \frac{\partial c}{\partial z}) + \lambda \frac{\partial c}{\partial z} (D_{xz} \frac{\partial c}{\partial x} + D_{zz} \frac{\partial c}{\partial z}) \quad \dots (4)$

④状態方程式 $\rho = (\rho_s - \rho_f)c + \rho_f \quad \dots (5)$

ここで、 $u, w; x$ (水平), z (鉛直)軸方向のDarcy 流速, P : 水の圧力, ρ_f : 基準密度($=1.00 \text{ g/cm}^3$), ρ_s : 塩分密度($=1.02 \text{ g/cm}^3$), g : 重力加速度, K_s, K_d : それぞれ x, z 軸方向の透水係数, c : 塩分濃度, D_{ij} : 分散係数テンソル ($i, j = x, z$) であり、本研究では D_{ij} は次の様に表示する。

$$D_{xx} = (A_x u^2 + A_z w^2) / |\nabla| \quad D_{zz} = D_{xx} = (A_x - A_z) u w / |\nabla| \quad D_{xz} = (A_x u^2 + A_z w^2) / |\nabla|$$

ここで $| \nabla | = \sqrt{u^2 + w^2}$, A_x, A_z : それぞれ綫, 横分散長である。

圧力 P に関しては、(1), (3)式より次の Poisson 方程式

$$\frac{\partial}{\partial x} (K_s \frac{\partial P}{\partial x}) + \frac{\partial}{\partial z} (K_d \frac{\partial P}{\partial z}) = -\frac{\partial}{\partial z} (K_s \frac{\rho}{\rho g}) \quad \dots (6)$$

を得、(2), (3), (4), (5), (6)式を有限要素法により離散化して数値解析した。具体的な離散化手段は既報を参考しておらず省略する。

2.2 着水及び濃度に関する境界条件は、Fig. 2-1 に示すようであ
り、 C_1 境界の運動学的条件は、差分により、

$$(h_{x1} - h_{x2}) / \Delta t = -\frac{1}{2} \left(\frac{h_{x1}'' - h_{x2}''}{x_{x1} - x_{x2}} + \frac{h_{x1}''' - h_{x2}'''}{x_{x1} - x_{x2}} \right) + w_r'' \quad \dots (7)$$

のようになる離散化した。 $x=12$, U_r, w_r はそれぞれ x, z 軸方向の実流速であり、 h は水位である。(7)式より、時間増分 Δt 後の節点 x における水位が求まり、その水位に応じて自由表面上の節点を移動させ、($n+1$)時刻の解領域を決定する。また、淡水位と塩水位の水位差が両水位に比べ小さいことから、浸潤面は考慮せず、塩水側境界水位と淡水側境界水位はそれぞれ塩水位、淡水位と同じとした。

2.3 本計算法の精度及び妥当性を検証するため、Fig. 2-2 に示す一様な密度の不圧浸透流を考へ、両端水位一定($h_0 = 30.0 \text{ cm}$)、初期水面形 $f(x, 0) = f(x) = 0.1 - (x - 50)^2 / 2500$ の条件のもとで、水面低下の時間的変化を数値解析した。計算結果を線形、一様流モデルによる理論解と比較したもののが Fig. 2-3 である。図より、計算値の方が理論解よりもやや水面低下が遅いが、全体としては、良い一致を示している。

3. 塩水侵入現象の数値解析：3.1 Fig. 2-1 の浸透層を対象として、 $x = 0$ で塩水側境界に設けられたゲートを開閉し、塩水の侵入過程をつ

$$c_1 = p(z) = \rho g(h - z), u \geq 0 \quad c = c_1 = 1.0 \quad u < 0 \quad \frac{\partial c}{\partial n} = 0$$

$$c_2 = p(z) = \rho g(h_f - z), c = c_2 = 0.0$$

$$c_3 = p = 0, w = \partial h / \partial t + u \partial h / \partial x \quad (\text{運動学的条件}) \quad \frac{\partial c}{\partial n} = 0$$

$$c_4 = w = 0, \frac{\partial c}{\partial n} = 0$$

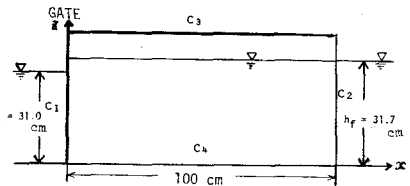


Fig. 2-1 不圧浸透層模式図と境界条件

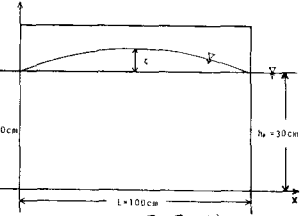


Fig. 2-2 不圧浸透層の模式図

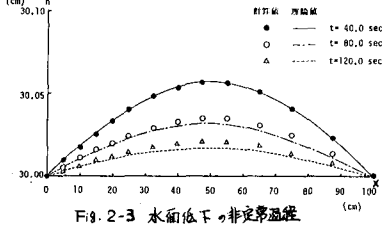


Fig. 2-3 水面低下の非定常過程

11で数値解析した。なお、分散長は $A_L = 0.5 \text{ cm}$, $A_T = 0.05 \text{ cm} \times L$, Fig. 2-1 の浸透層を 154 節点, 260 の三角形要素に分割し、 $\Delta t = 10 \text{ 秒}$ で計算を行った。Fig. 3-1 は、 $x = 40 \text{ cm}$ における水位、及び桿長さ($c = 0.5$ 等濃度線と不浸透面が交差する点の x 軸からの距離)の無次元量の経時変化を示したものである。図から水位の変化はすみやかに終了し、自由水面が定常状態に移行する時間は濃度分布のそれよりも3倍以上かかる。また、自由水面形状は、塩水の侵入が進行してもほとんど変化がない。

Fig. 3-2 は、定常状態と思われる $t = 8000 \text{ sec}$ の濃度分布と流速ベクトルを合せて示したものである。濃度分布形状を二層流仮定に基づく塩水楔形状 (Fig. 3-2 直線) と比較すると数値計算による楔の方が、二層流理論よりもやや短かくなっている。なお、塩水侵入と流速ベクトルの経時変化については、被圧浸透層におけるものとはほぼ同じようである。

3-2 次に塩水位を周期的に振動させ、塩水楔の非定常応答特性について検討する。すなわち、3-1 で得られた $t = 8000 \text{ sec}$ 後の状態を初期条件とし、淡水位は、 $h_f = 31.7 \text{ cm}$ で一定とし、塩水位 h_s が

$$h_s = 31.0 + \sin(\pi t/T) - (8)$$

振動するときの解析である (分散長は、 $A_L = 1.00 \text{ cm}$, $A_T = 0.05 \text{ cm}$ を用いた)。

Fig. 3-3 は、各時刻における自由水面形状を示したものであり、淡水流における線形モデルによる理論値

$$\begin{aligned} h(x, t) &= \exp(-mx) \sin\left(\frac{\pi}{T}t - mx\right) + \sum_{k=1}^{\infty} [\exp(-m(zkL+x)) \sin\left(\frac{\pi}{T}t - m(zkL+x)\right) \\ &\quad - \exp(-m(zkL-x)) \sin\left(\frac{\pi}{T}t - m(zkL-x)\right)] - (9) \end{aligned}$$

$$m = \sqrt{\pi^2 / zCH} = \sqrt{\pi / TCH}, \quad C = \frac{k}{x}, \quad L: \text{浸透層長さ}$$

と合せて示している。塩水位の振動に伴い、Fig. 3-4 に示すように塩水楔も振動するが、Fig. 3-3 から水面の振動は、淡水流と密度流とでは顕著な違いは見られず、塩水侵入の影響はほとんどないことがわかる。

Fig. 3-4 は、桿高さ($c = 0.5$ 等濃度線の x 座標で定義)の経時変化の一例を示したものであるが、塩水側境界から離れていくほど、振幅が減衰するとともに、位相の遅れが認められる。次に周期Tの影響について述べると、周期の長い方が塩水楔位置の水平方向への変動が大きく、周期が短い場合には、桿高さの変化は少しく、塩水境界近くの桿高さの変化が顕著である。桿高さの振動の減衰特性を桿高さの振幅と距離の関係として片対数紙上に示すと Fig. 3-5 のようであり、両者の関係は直線であり、桿振幅の減衰率を n とする。

$$\dot{z} = z_0 \exp(-nx) - (10)$$

これは、Fig. 3-5 に示されるように、周期Tが長くなるほど減衰率が小さく、塩水位の振動周期が長い程桿高さの x 軸方向の振幅の減衰が少しく、先に述べた桿変動パターンの違いは、この減衰率の違いによる。これを自由水面振動の振幅の減衰率 m と比較すると、桿高さの振幅減衰率の方が大きくなり、境界水位の振動による自由水面の振動より、桿高さの振動の方が早く減衰することがわかる。

最後に、本研究において多大なる御協力をいたいた元京都大学大学院生(現群馬県太田市)西亘氏に厚く感謝致します。

(参考文献) 1) 岩佐・綾・大西: 京大防災年報 第27号 B-2, 昭和57年4月

2) 本間・石原: 工用水利学 中Ⅱ RP309~312, 1968 太善

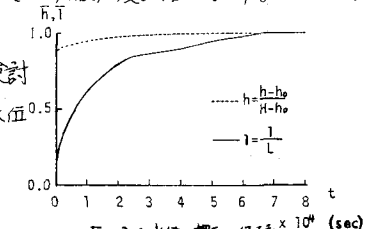


Fig. 3-1 水位と桿長工経時変化

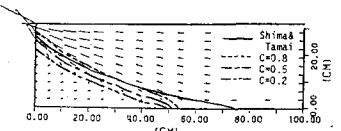


Fig. 3-2 $t = 8000 \text{ sec}$ の濃度分布と流速ベクトル

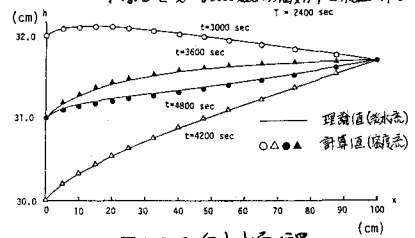


Fig. 3-3 自由水面位置

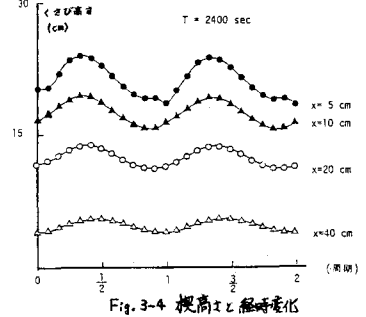


Fig. 3-4 桿高さと経時変化

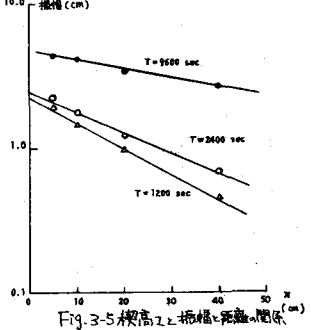


Fig. 3-5 桿高さと振幅減衰率